

EVALUACIÓN DEL EFECTO DE NANOPARTÍCULAS DE PLATA DURANTE EL PROCESO INFECCIOSO DE *Listeria monocytogenes* EN EL MODELO ANIMAL *Galleria mellonella*.



EVALUACIÓN DEL EFECTO DE NANOPARTÍCULAS DE PLATA DURANTE EL PROCESO INFECCIOSO DE *Listeria monocytogenes* EN EL MODELO ANIMAL *Galleria mellonella*.



The image shows a collection of slides from a presentation, likely a LaTeX Beamer document, with various sections and figures. The sections include:

- INTRODUCCIÓN**: Includes a diagram of the human digestive system and a map of Mexico.
- MARCO TEÓRICO**: Features a flowchart of the hepatitis A life cycle.
- OBJETIVOS**: Describes the objective of assessing hepatitis A risk in northern Mexico, mentioning the study area (Coahuila, Nuevo León, Tamaulipas), the methodology (surveillance, seroprevalence, and questionnaire), and the hypothesis (that hepatitis A incidence is higher in Coahuila).
- METODOLOGÍA**: Shows a flowchart of the study process: Data collection -> Laboratory analysis -> Statistical analysis.
- ANEXOS**: Includes a table of hepatitis A incidence rates by state and a table of laboratory results.
- GRACIAS**: A slide with the text "Muchas GRACIAS" and a thumbs-up icon.



EVALUACIÓN DEL EFECTO DE NANOPARTÍCULAS DE PLATA DURANTE EL PROCESO INFECCIOSO DE *Listeria monocytogenes* EN EL MODELO ANIMAL *Galleria mellonella*.

ANGELA LORENA CANTOR ORTÍZ
BIVIANA PAOLA CADENA SANCHEZ

UNIVERSIDAD COLEGIO MAYOR DE CUNDINAMARCA
FACULTAD DE CIENCIAS DE LA SALUD BACTERIOLOGÍA Y
LABORATORIO CLÍNICO
TRABAJO DE GRADO
BOGOTÁ D.C
2019

INTRODUCCIÓN

1



<http://etasalmonella.blogspot.com/2015/11/la-listeriosis-es-una-infeccion.html>

2



<http://fundacionio.org/viajar/enfermedades/resistencia%20antibioticos.html>

3



Cortesía: Autoras

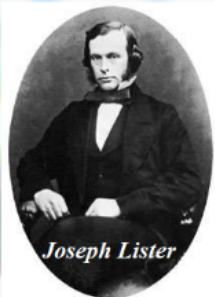


¿Las NPs Ag controlan el proceso de infección de *Listeria monocytogenes* en *Galleria mellonella*?

ANTECEDENTES

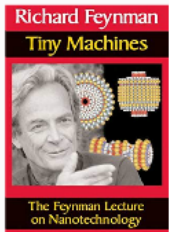


Murray y Col.
1926



Joseph Lister

Feynman R.
1959



Murray y Col.
1957

Pascale Cossart
1980



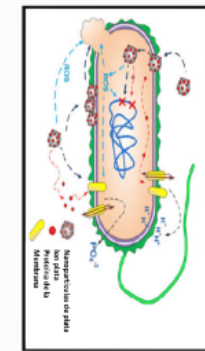
Figura 3 : Organización transcriptional y física del grupo de genes de virulencia (lvp-1) de *Listeria monocytogenes*. Modificado de: (Vazquez-Boland 2001b).

Determination of MIC value of antibiotics and AgNPs

Bacterial species	Amp	Chl	Ery	Gen	Tet	Van	AgNPs
<i>P. aeruginosa</i>	1.0	2.0	1.0	1.0	1.5	3.0	0.59
<i>S. flexneri</i>	1.0	2.0	1.0	1.0	1.5	3.0	0.60
<i>S. aureus</i>	2.0	4.0	2.0	2.0	3.0	2.0	0.75
<i>S. pneumoniae</i>	2.0	4.0	2.0	2.0	3.0	2.0	0.76

Gurunathan y Col.
2014

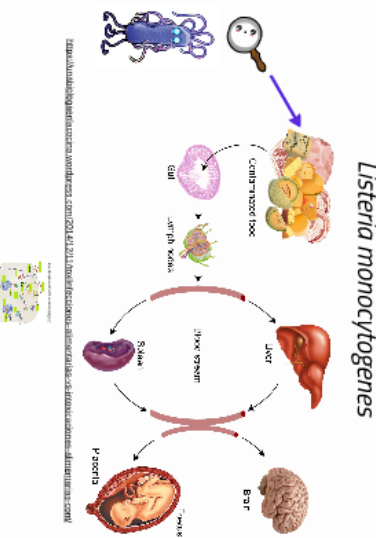
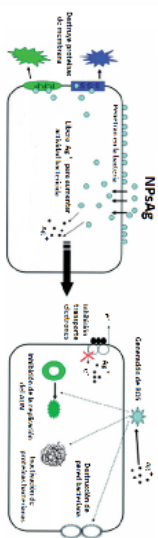
Markowska y
Col.
2018



Martinez y Col.
2017

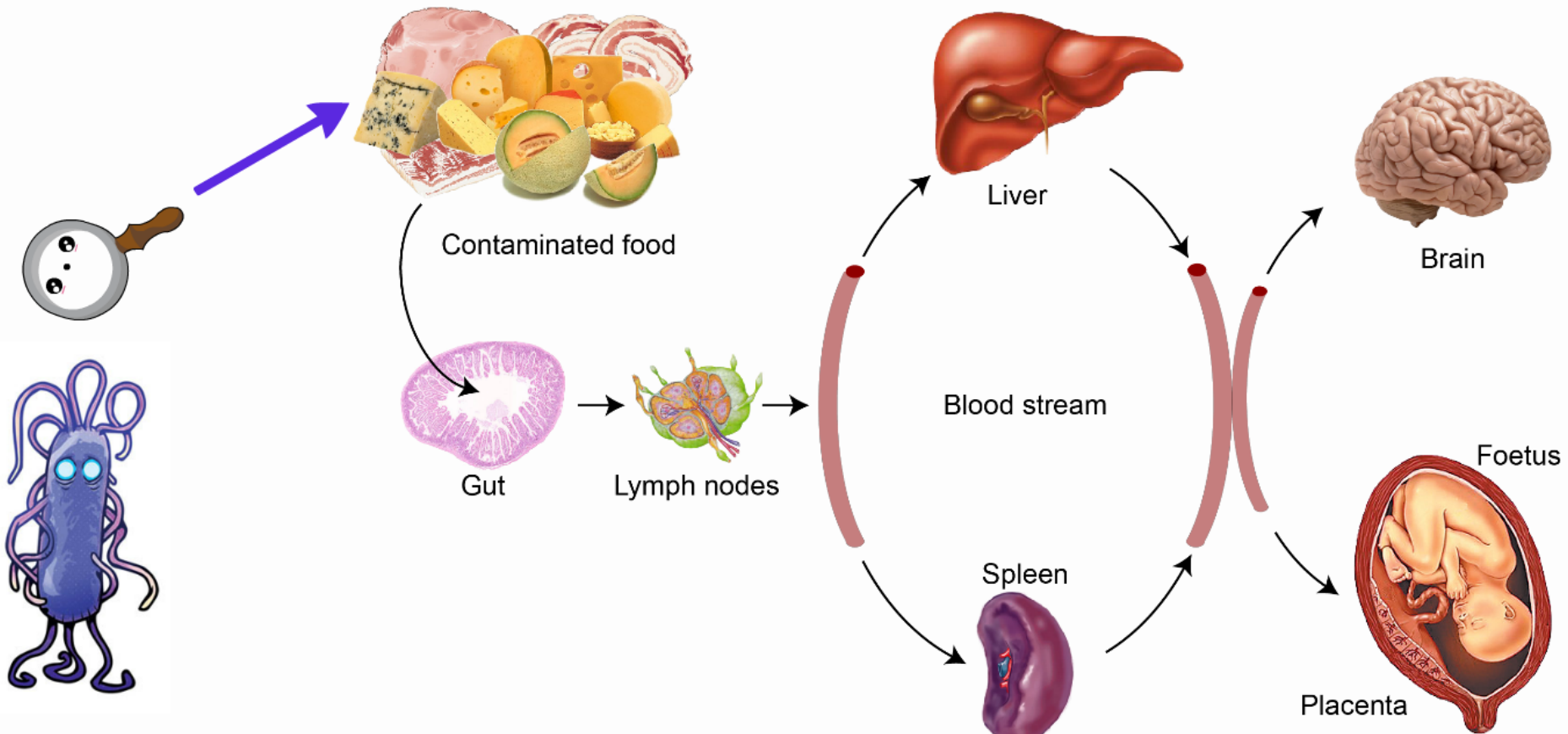
MARCO TEÓRICO

Nanopartículas de Plata

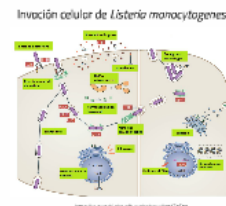


<https://repositorio.usal.edu.co/museo/objetos/objetos/10000/1927/9200>

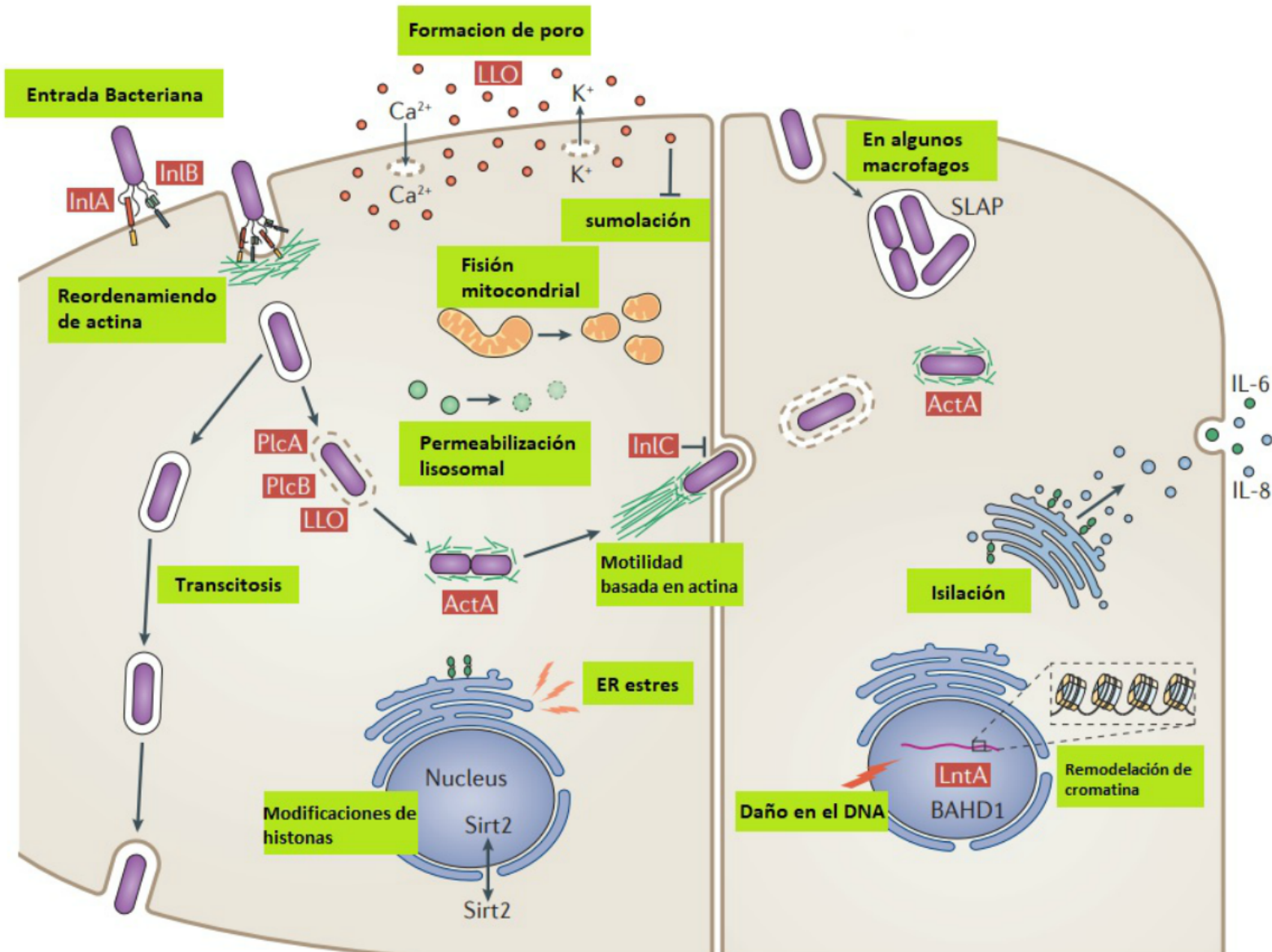
Listeria monocytogenes



<https://unabiologaenlacocina.wordpress.com/2014/12/11/toxiinfecciones-alimentarias-vs-intoxicaciones-alimentarias-cont/>



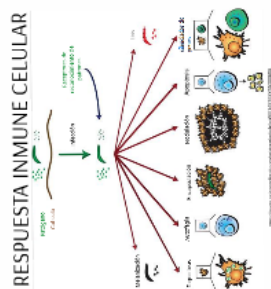
Invación celular de *Listeria monocytogenes*



<https://www.ncbi.nlm.nih.gov/pubmed/29176582>

Galleria mellonella

1

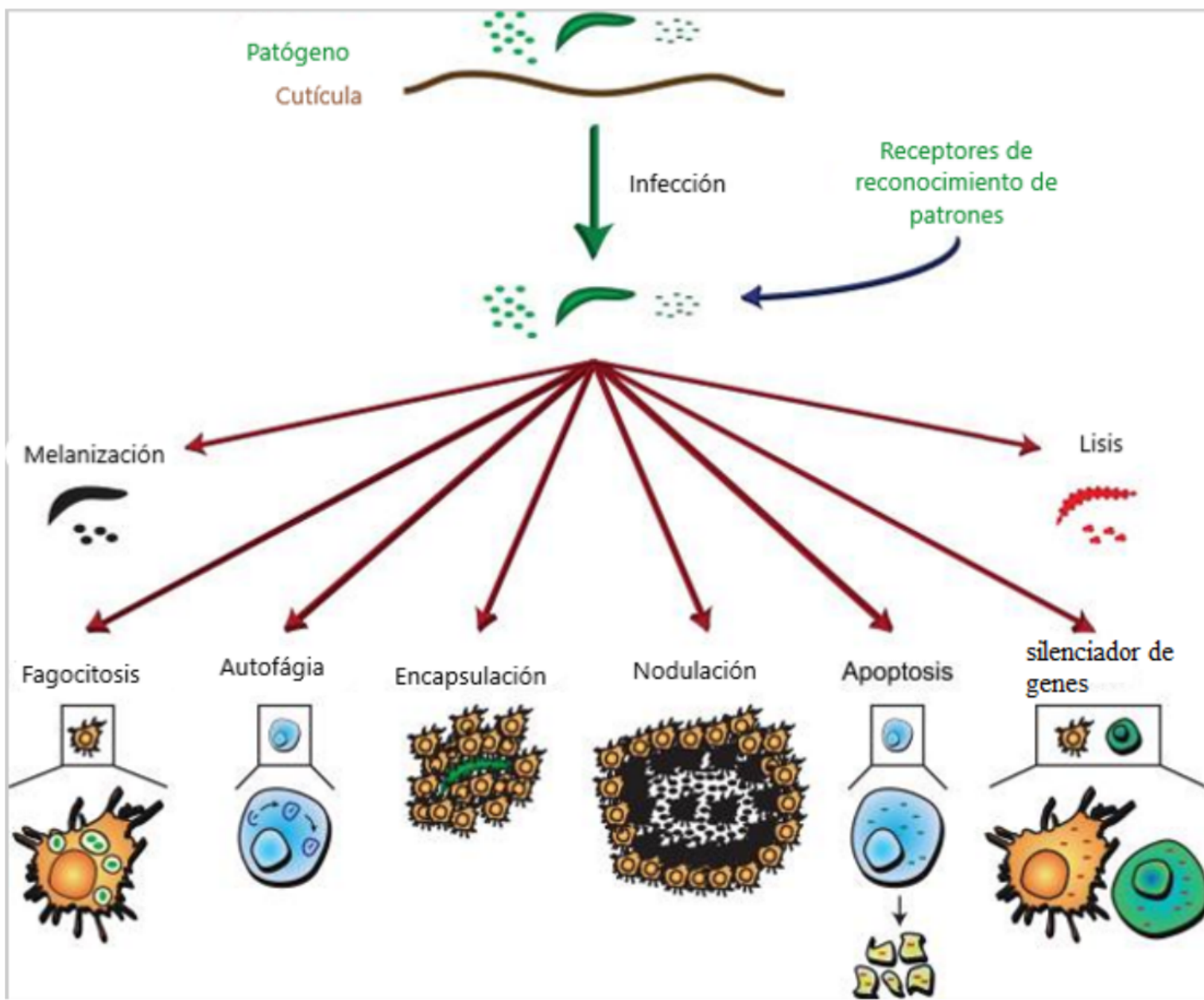


2



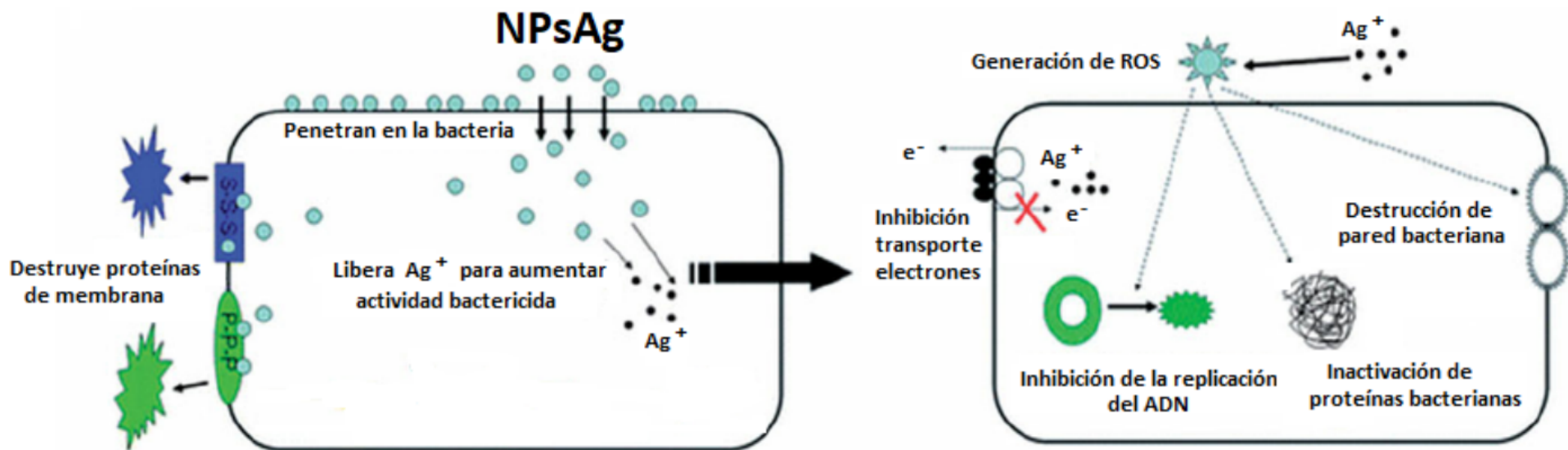
Cortesía: Autoras

RESPUESTA INMUNE CELULAR



<https://www.sciencedirect.com/science/article/pii/S0145305X15300896>

Nanopartículas de Plata



<https://revistas.fucsalud.edu.co/index.php/repertorio/article/view/871/900>

OBJETIVOS

Evaluar el papel de nanopartículas de plata (NPs Ag) frente a la infección de *Listeria monocytogenes* en *Galleria mellonella*.

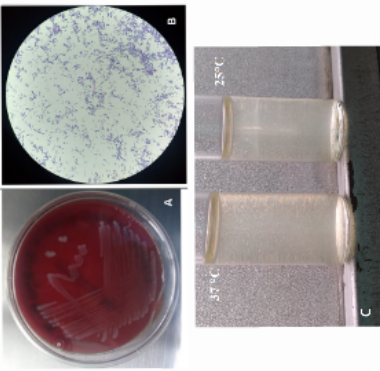
- Determinar la DL50 adecuada para la infección de *Galleria mellonella* con la bacteria *Listeria monocytogenes*.
- Evaluar el proceso infeccioso de *Listeria monocytogenes* en *Galleria mellonella*.
- Estudiar el tratamiento del proceso infeccioso de *Listeria monocytogenes* en *Galleria mellonella* con NPs Ag.
- Comparar la respuesta inmune de *Galleria mellonella* previamente inoculada con nanopartículas de plata y *Listeria monocytogenes*.

- Determinar la DL50 adecuada para la infección de *Galleria mellonella* con la bacteria *Listeria monocytogenes*.
- Evaluar el proceso infeccioso de *Listeria monocytogenes* en *Galleria mellonella*.
- Estudiar el tratamiento del proceso infeccioso de *Listeria monocytogenes* en *Galleria mellonella* con NPs Ag.
- Comparar la respuesta inmune de *Galleria mellonella* previamente inoculada con nanopartículas de plata y *Listeria monocytogenes*.

METODOLOGÍA

Síntesis Nanopartículas de Plata
Universidad Central - BIOMAT

Listeria monocytogenes Clínica ALCC / 844



ATCC 7644
Clínica

Síntesis Nanopartículas de Plata
Universidad Central - BIOMAT

METODOLOGÍA

Población

Listeria monocytogenes

ATCC 7644 Clínica

Larvas

Parámetro	Criterio
Estadio	Última fase larvaria
Peso	180 a 200 mg
Tamaño	2.0 a 3.0 cm de largo
Salud	No deben presentar estado de letargo o que estén sin movimiento. No deben tener pigmentación que indiquen proceso de melanización. Se descartan aquellas que tengan signos de pupación.

Total de larvas usadas: 570

Reducción por fitoquímicos presentes en extracto de *Prunella*

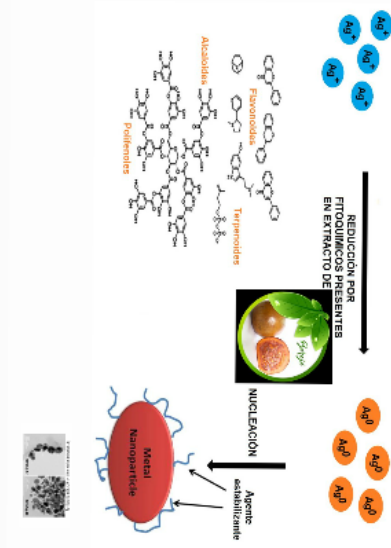
NUCLEACIÓN

Agente esabiliente

Larvas

Parametro	Criteria
Estadio	Última fase larvaria
Peso	180 a 200 mg
Tamaño	2.0 a 3.0 cm de largo
Salud	No deben presentar estado de letargo o que estén sin movimiento. No deben tener pigmentación que indiquen proceso de melanización. Se descartan aquellas que tengan signos de nupación.

Total de larvas usadas: 570



Larvas

Parámetro	Criterio
Estadio	Última fase larvaria
Peso	180 a 200 mg
Tamaño	2.0 a 3.0 cm de largo
Salud	No deben presentar estado de letargo o que estén sin movimiento. No deben tener pigmentación que indiquen proceso de melanización. Se descartan aquellas que tengan signos de pupación.

Total de larvas usadas: 570



Inoculación de larvas (Paez y Col. 2017)



Paez N, Villamarín L. Influencia de las nanopartículas de plata en los procesos infecciosos de *Candida albicans* en *Galleria mellonella*. Bogotá: Universidad Colegio Mayor de Cundinamarca; 2017.

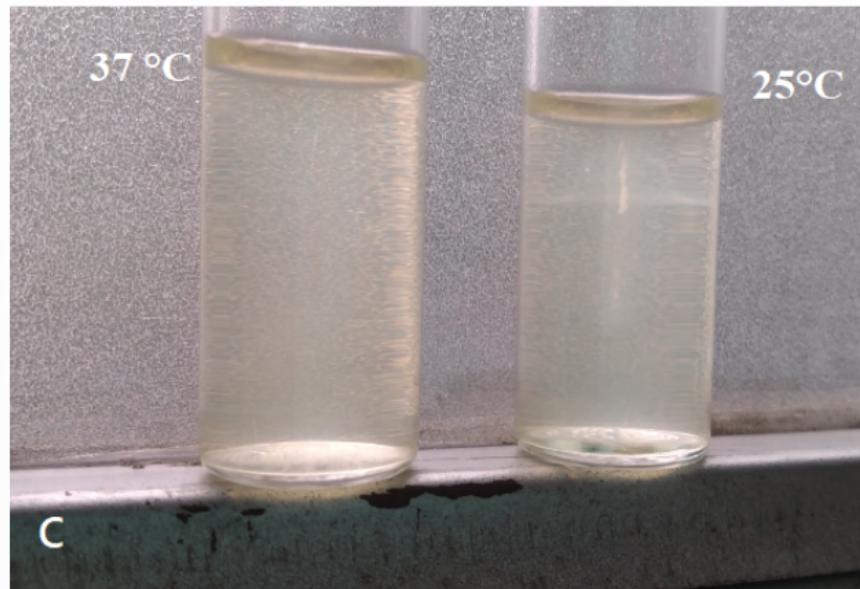
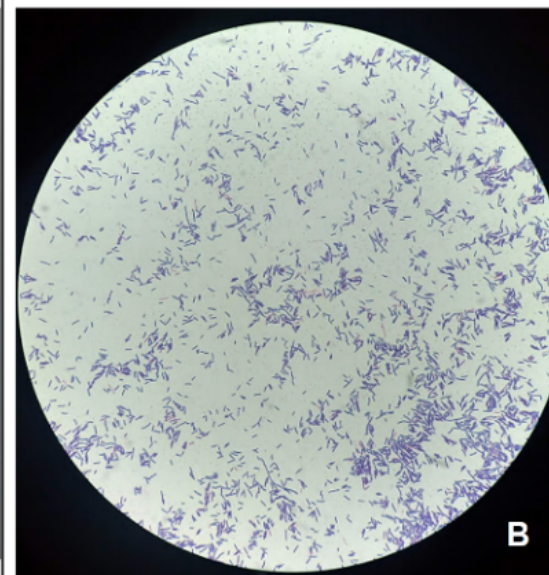
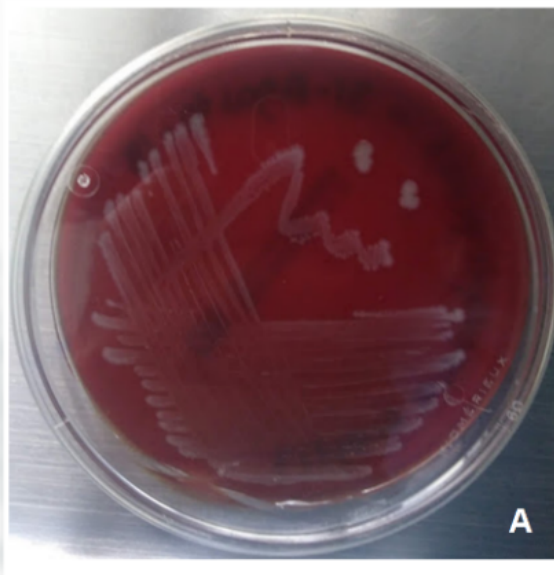
Seguimiento de larvas de *Galleria mellonella* (Loh JM 2013)

CATEGORIA	DESCRIPCIÓN	PUNTAJE
Actividad	Ninguna actividad	0
	Actividad mínima con estimulación	1
	Activo cuando es estimulada	2
	Activo sin estimulación	3
Formación de capullo	Sin capullo	0
	Capullo parcial	0.5
	Capullo lleno	1
Melanización	Melanización completa (negro)	0
	Manchas oscuras en gusano de cera marrón	0
	>3 manchas en el gusano de cera beige	2
	<3 manchas en el gusano de cera beige	3
	Sin melanización	4
Sobrevivencia	Muertas	0
	Vivas	2

Loh JM, Adenwalla N, Wiles S, Proft T. *Galleria mellonella* larvae as an infection model for group A streptococcus. Virulence. 2013;4(5):419-28.

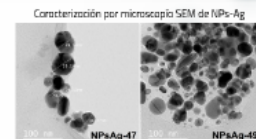
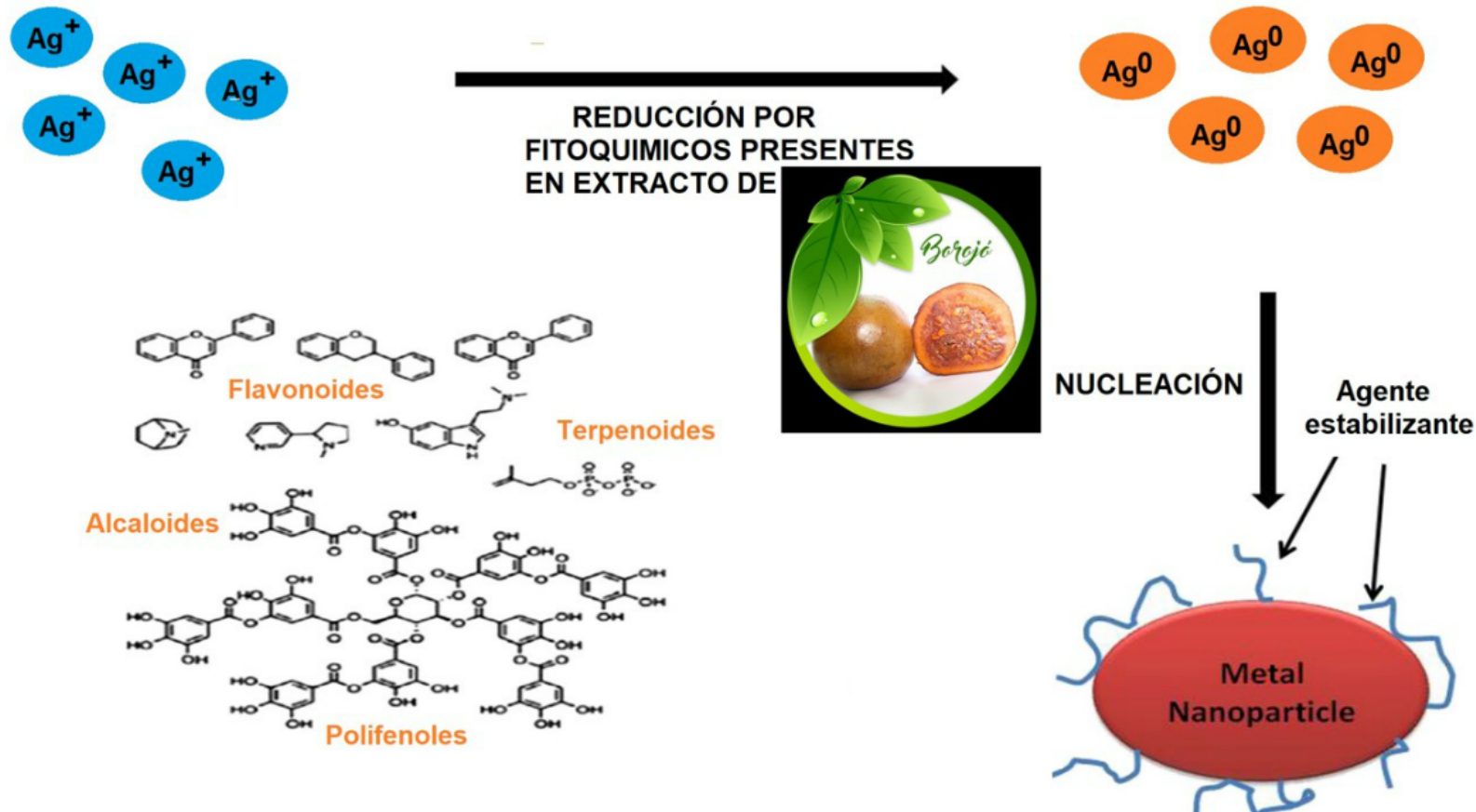
Listeria monocytogenes

ATCC 7644
Clínica

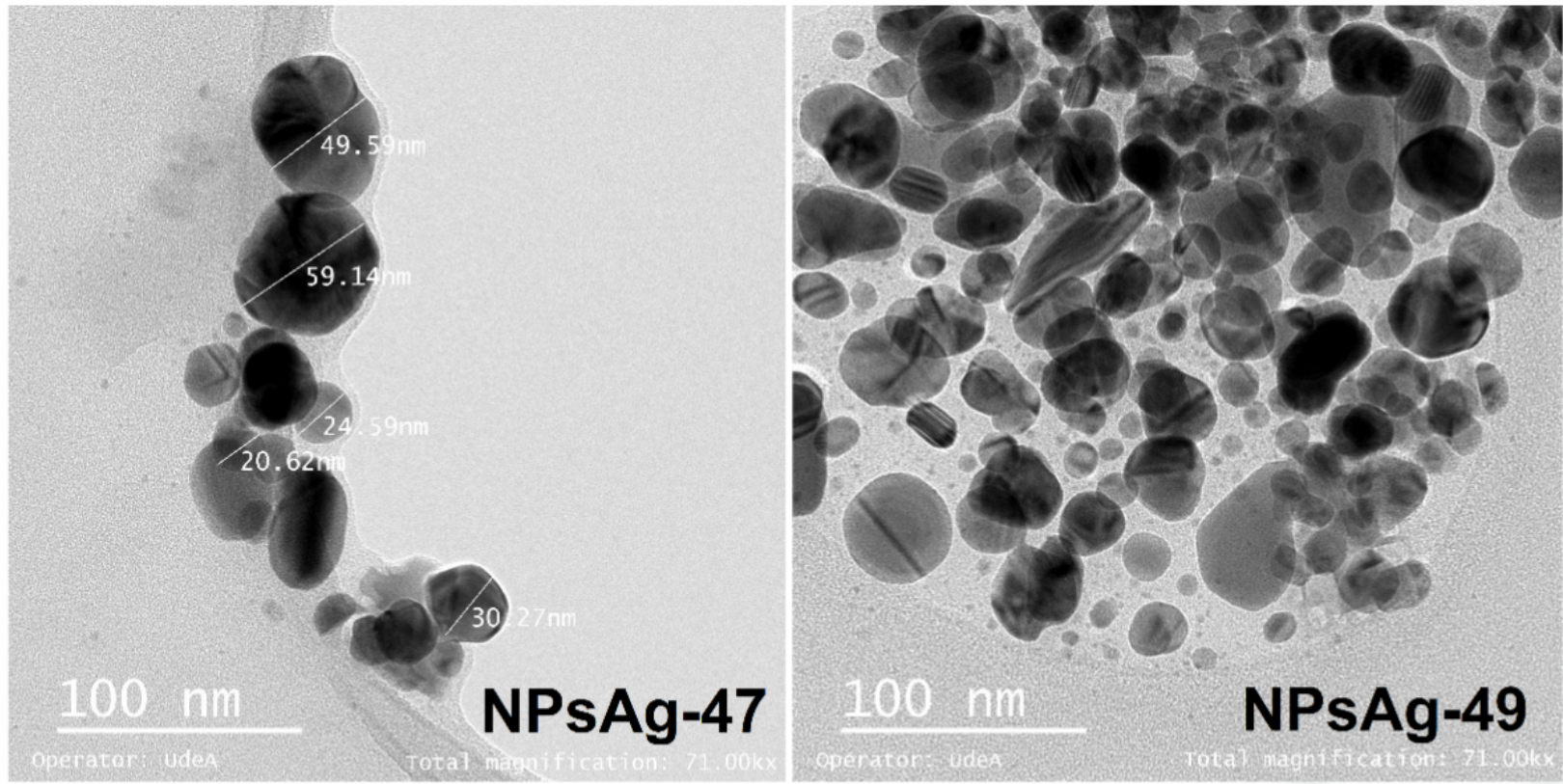


Síntesis Nanopartículas de Plata

Universidad Central - BIOMAT



Caracterización por microscopía SEM de NPs-Ag



FASE 1: DETERMINACIÓN DE LA DÓSIS LETA 50 (DL50) *Listeria monocytogenes* EN LARVAS DE *Galleria mellonella*

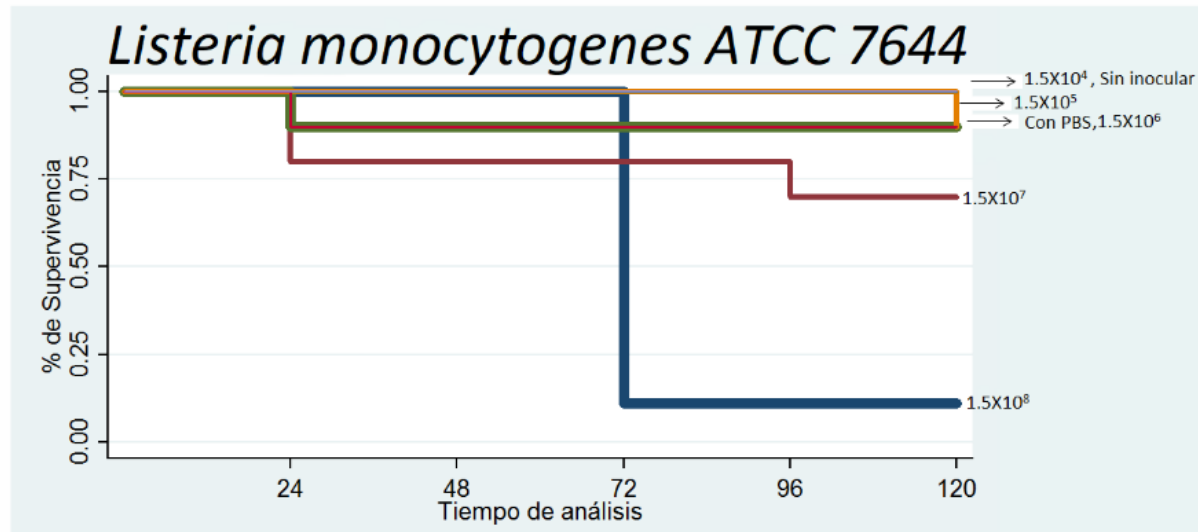
GRUPO	CONCENTRACIÓN	LARVAS
1	1.5×10^8 UFC/mL	20
2	1.5×10^7 UFC/mL	20
3	1.5×10^6 UFC/mL	20
4	1.5×10^5 UFC/mL	20
5	1.5×10^4 UFC/mL	20
Control 1	Sin inocular	20
Control 2	10 µL PBS	20



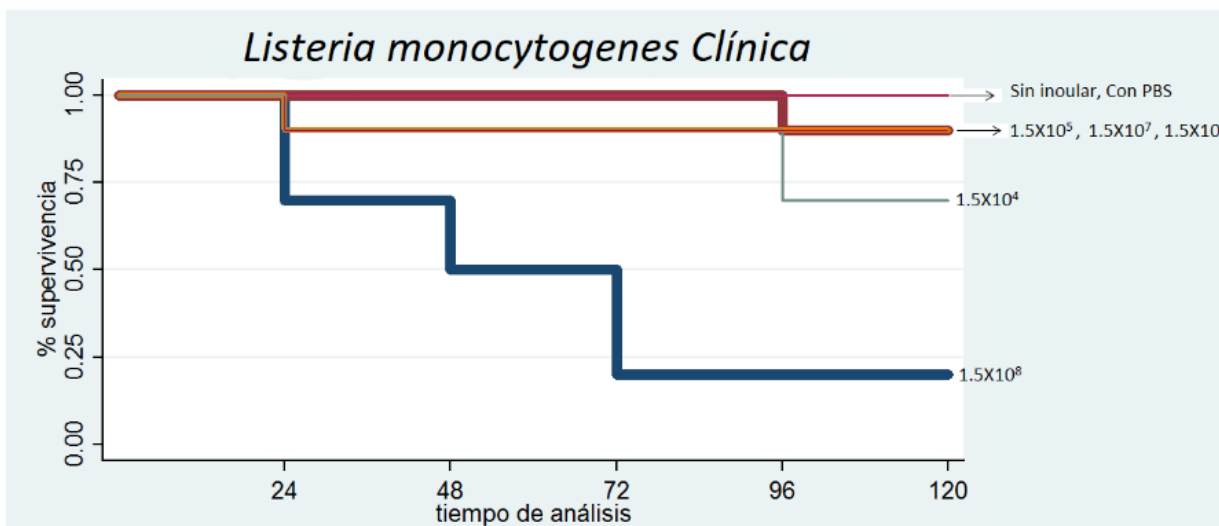
- Incubación a 37 °C
- Seguimiento 5 días
- Generación curvas de
sobrevivencia por
Kaplan meier.

FASE 1: RESULTADO

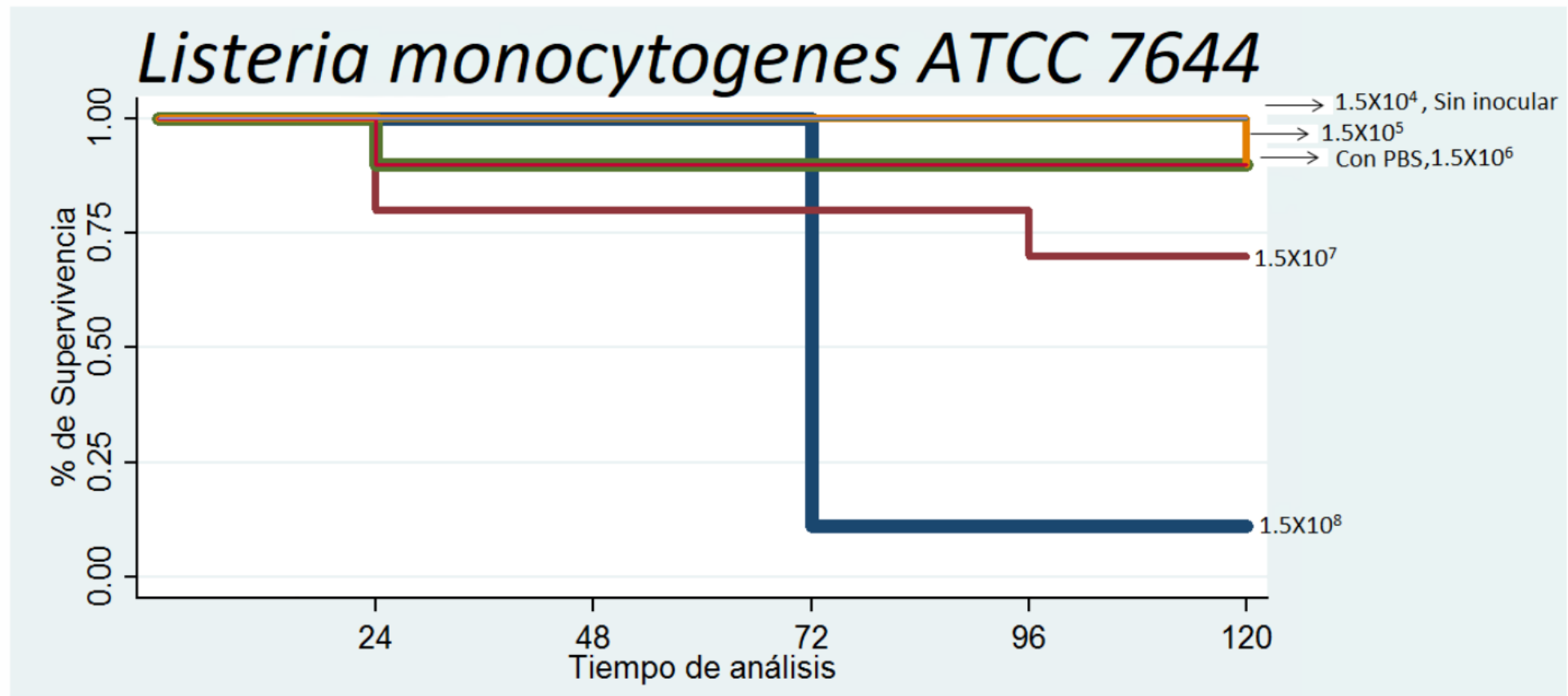
1

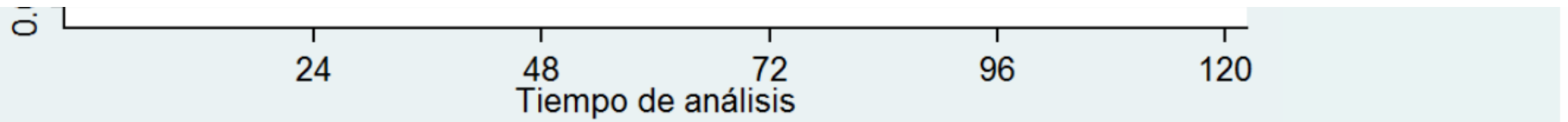


2

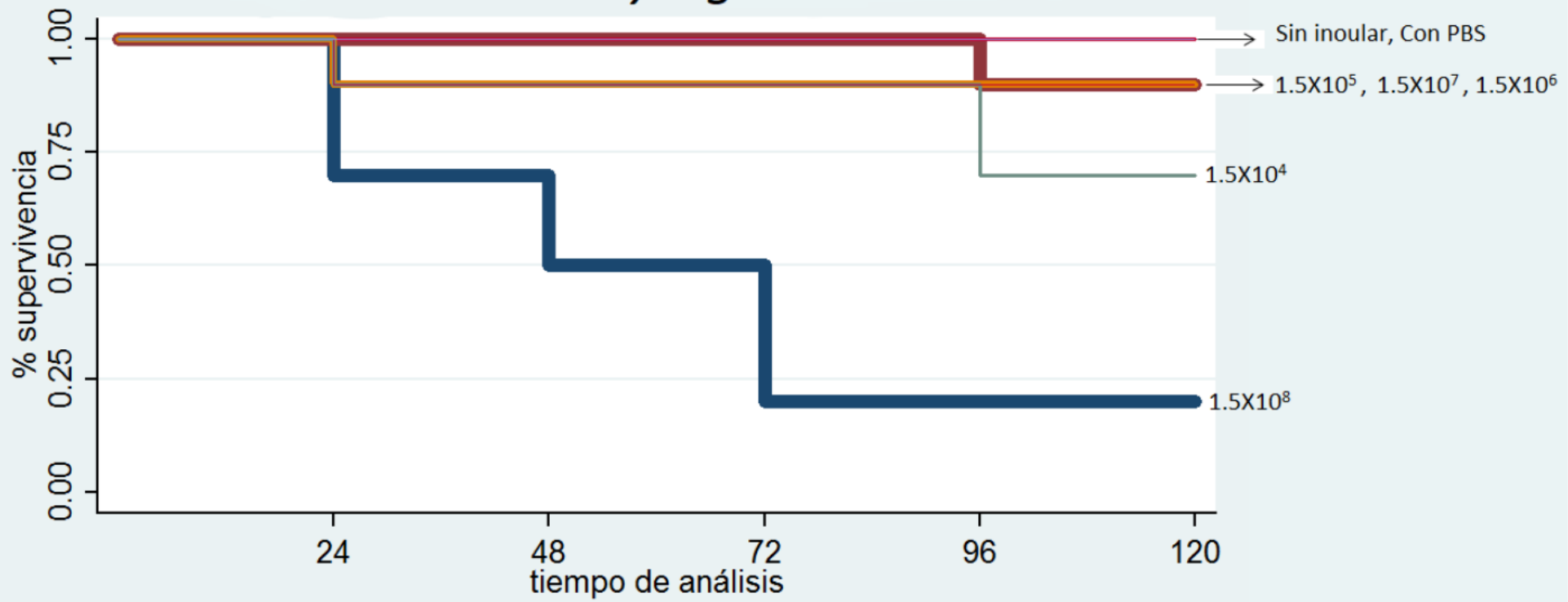


FASE 1: RESULTADO



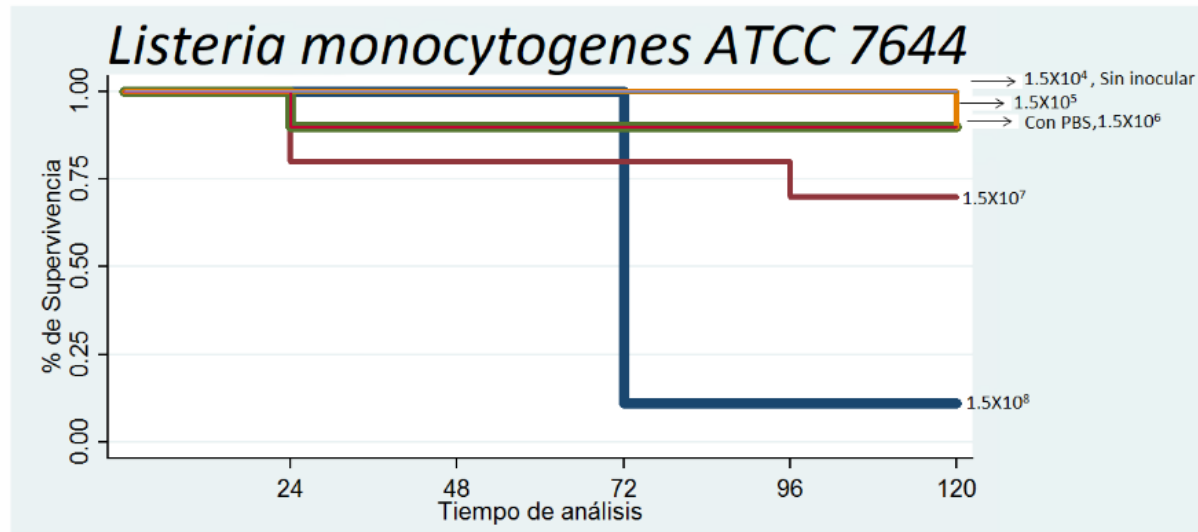


Listeria monocytogenes Clínica

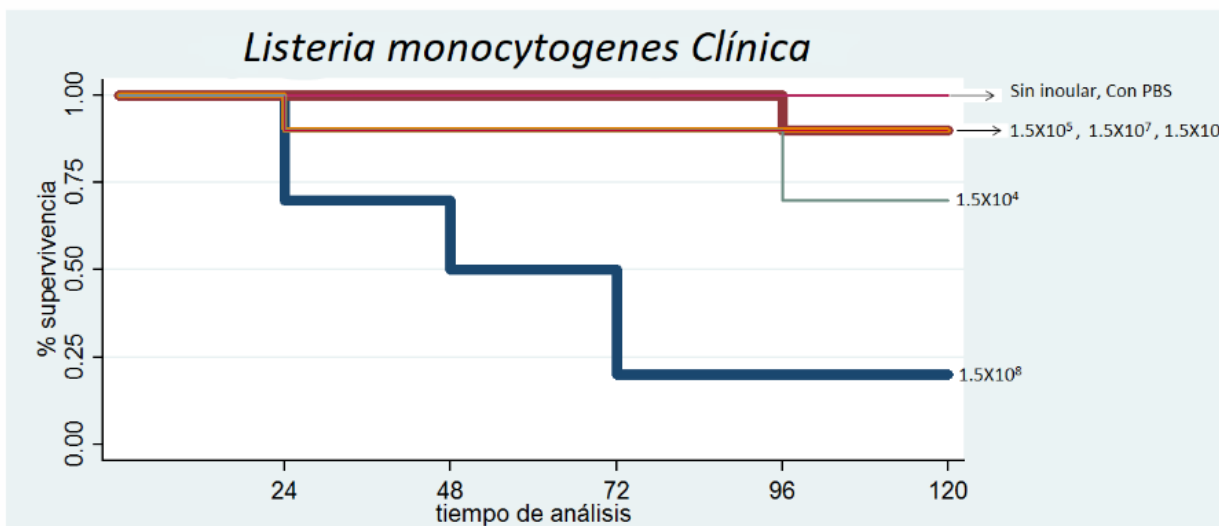


FASE 1: RESULTADO

1



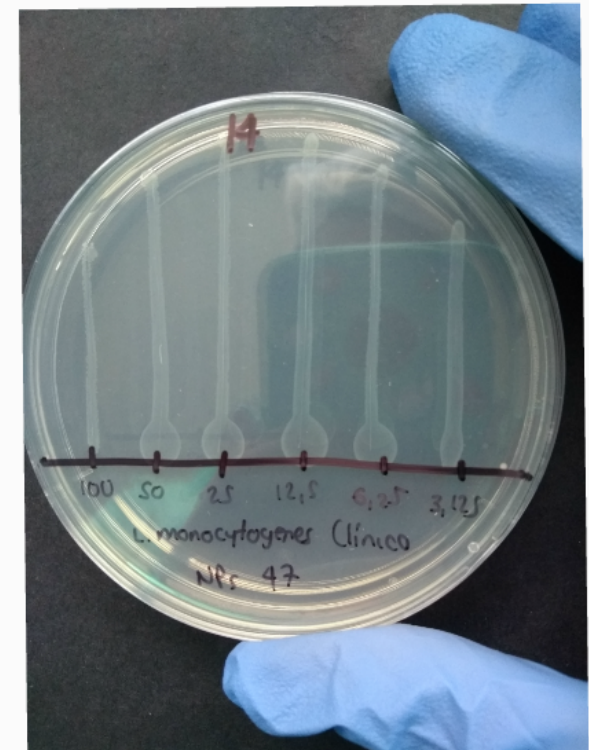
2



FASE 2: DETERMINACIÓN DE LA CONCENTRACIÓN MÍNIMA INHIBITORIA (CMI) Y CONCENTRACIÓN MÍNIMA BACTERICIDA (CMB) PARA NANOPARTÍCULAS DE PLATA

NPs Ag	Concentración ng/mL	
NPs Ag 47	100	<i>Listeria monocytogenes</i> ATCC 7644
	50	
	25	
	12.5	
	6.25	
	3.125	
	100	<i>Listeria monocytogenes</i> Clínica
	50	
	25	
	12.5	
	6.25	
	3.125	
NPs Ag 49	100	<i>Listeria monocytogenes</i> ATCC 7644
	50	
	25	
	12.5	
	6.25	
	3.125	
	100	<i>Listeria monocytogenes</i> Clínica
	50	
	25	
	12.5	
	6.25	
	3.125	

- INCUBACIÓN 37°C
- LECTURA A LAS 24H



CLSI. M100. Estándares de rendimiento para antimicrobianos. Pruebas de susceptibilidad. 27 ed. USA: Clinical and Laboratory Standards Institute; 2017.



FASE 1: DETERMINACIÓN DE LA DÓSIS LETAL

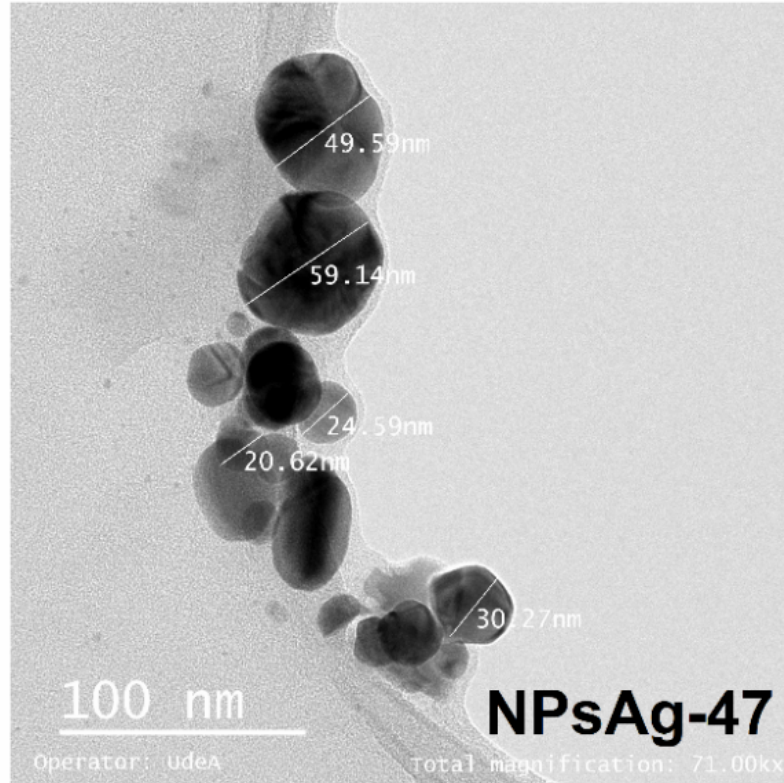
FASE 2: RESULTADO

1

	CMI $\mu\text{L}/\text{mL}$	CMB $\mu\text{L}/\text{mL}$
<i>Listeria monocytogenes</i> ATCC 7644 (NPs Ag 47)	≥ 100	≥ 100
<i>Listeria monocytogenes</i> Clínica (NPs Ag 47)	100	≥ 100
<i>Listeria monocytogenes</i> ATCC 7644 (NPs Ag 49)	≥ 100	≥ 100
<i>Listeria monocytogenes</i> Clínica (NPs Ag 49)	≥ 100	100

Graham y colaboradores:
Concentraciones de NPsAg
de 5 a 333 $\mu\text{g/mL}$

Selección



Listeria monocytogenes ATCC 7644

FASE 3: SUPERVIVENCIA DE *Galleria mellonella* INFECTADA CON *Listeria monocytogenes* Y TRATADA CON NPs - Ag47 A DOS CONCENTRACIONES

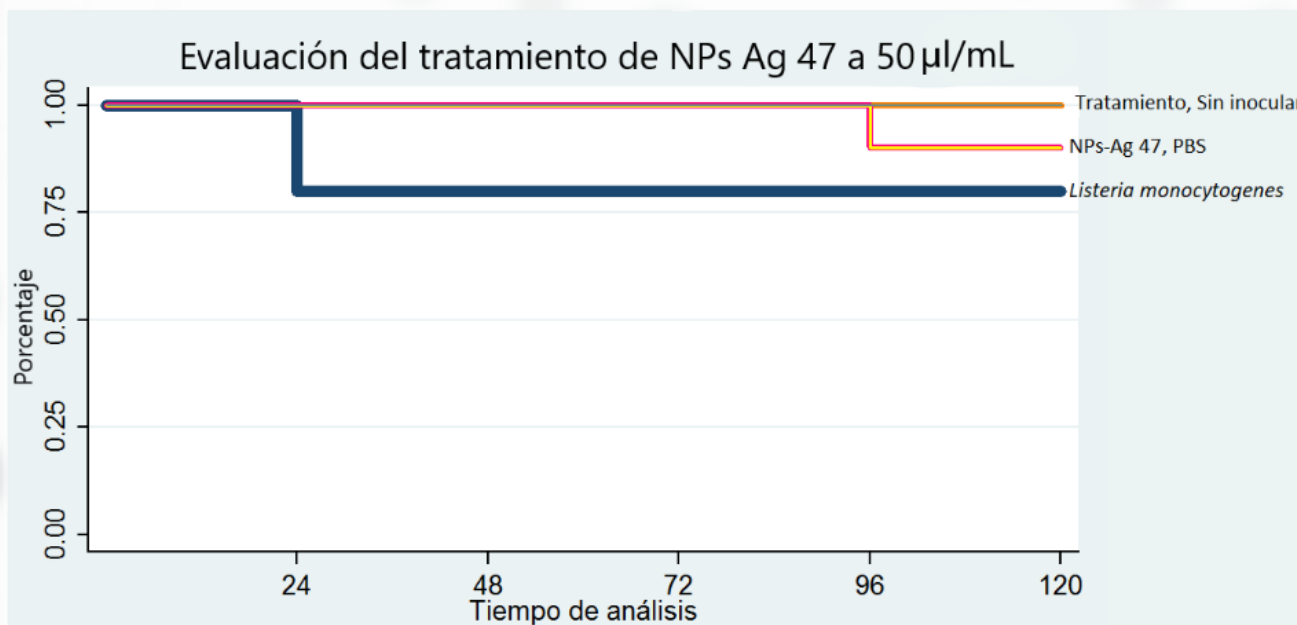
GRUPO	CANTIDAD Y CARACTERÍSTICAS
1	20 larvas con NPs Ag 47 a 100 µl/ml y <i>Listeria monocytogenes</i> ATCC 7644
2	20 larvas con NPs Ag 47 a 50 µl/ml y <i>Listeria monocytogenes</i> ATCC 7644
Control 1	20 larvas sin inocular
Control 2	20 larvas con PBS
Control 3	20 larvas con NPs Ag 47 a 100 µl/ml
Control 4	20 larvas con NPs Ag 47 a 50 µl/ml
Control 5	20 larvas con <i>Listeria monocytogenes</i> ATCC 7644



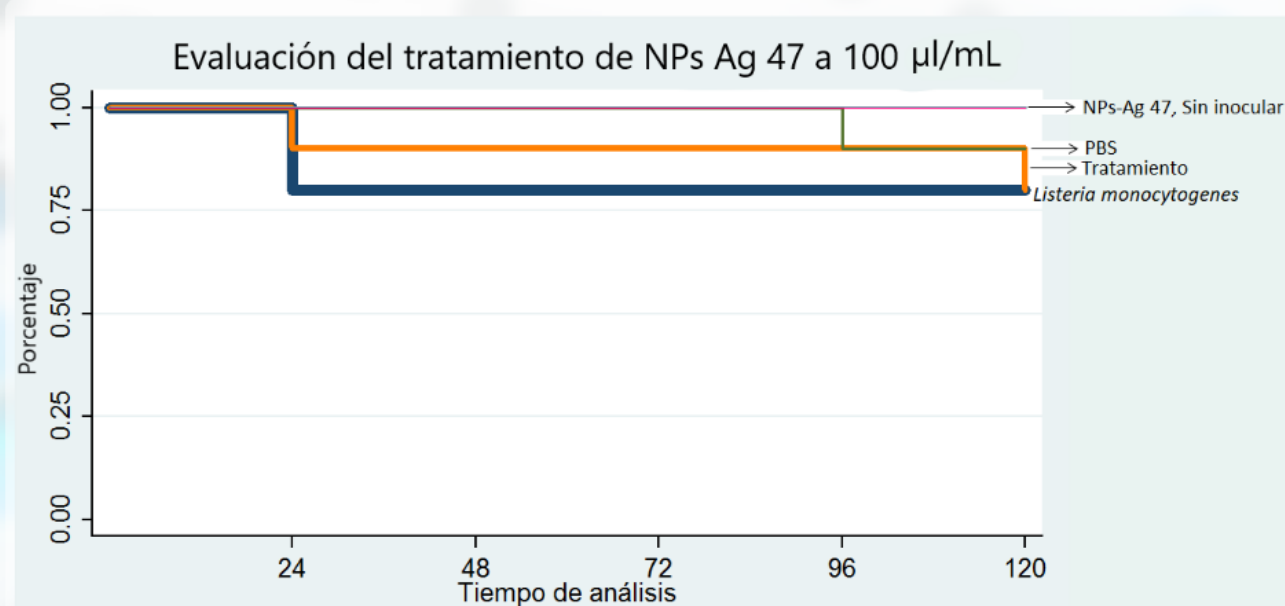
- Incubación a 37 °C
- Seguimiento 5 días
- Generación curvas de supervivencia por Kaplan meier.

FASE 3: RESULTADO

1

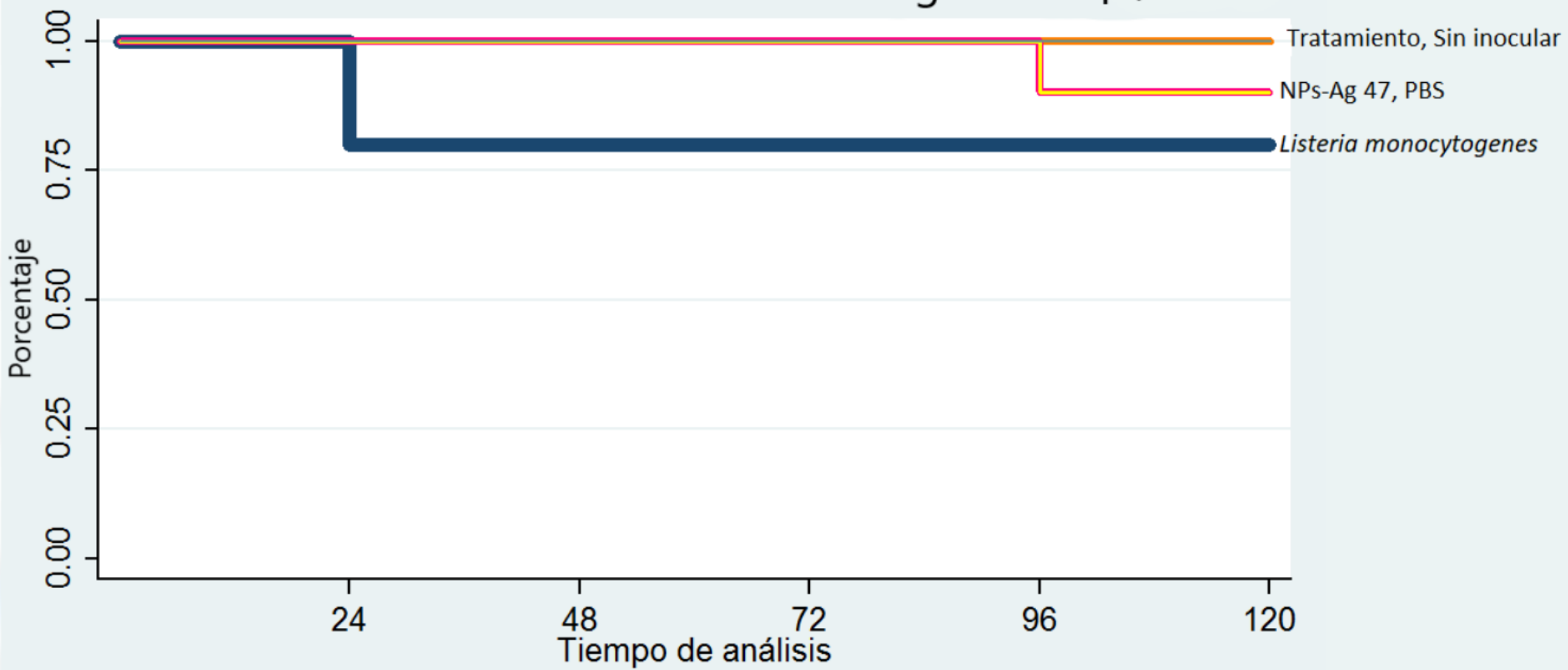


2



FASE 3: RESULTADO

Evaluación del tratamiento de NPs Ag 47 a 50 µL



Evaluación del tratamiento de NPs Ag 47 a 100 µL/mL



0.00

24

48

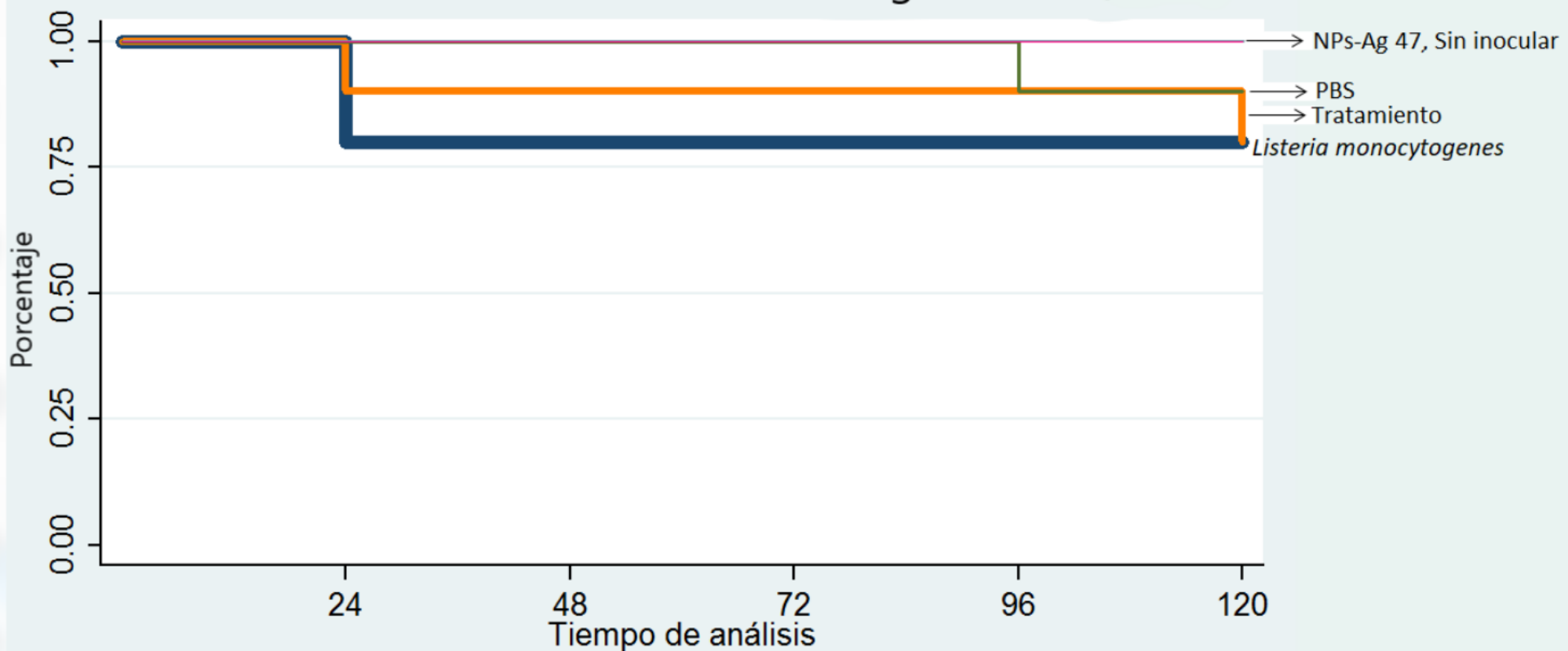
72

96

120

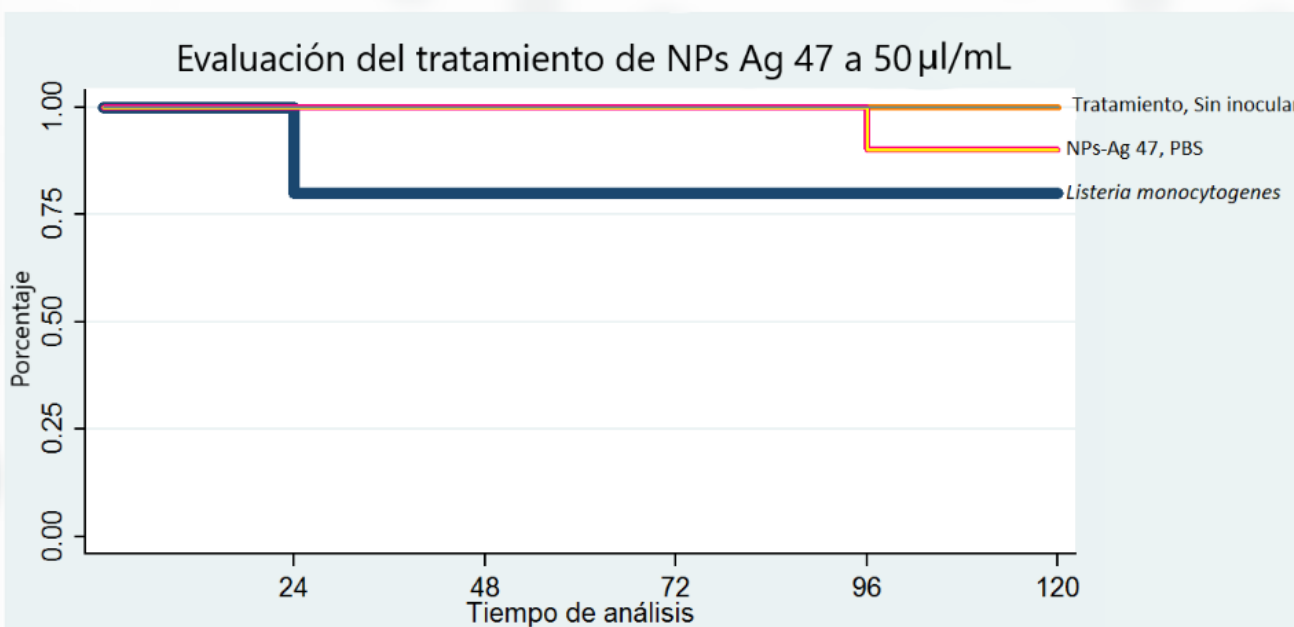
Tiempo de análisis

Evaluación del tratamiento de NPs Ag 47 a 100 $\mu\text{l}/\text{mL}$

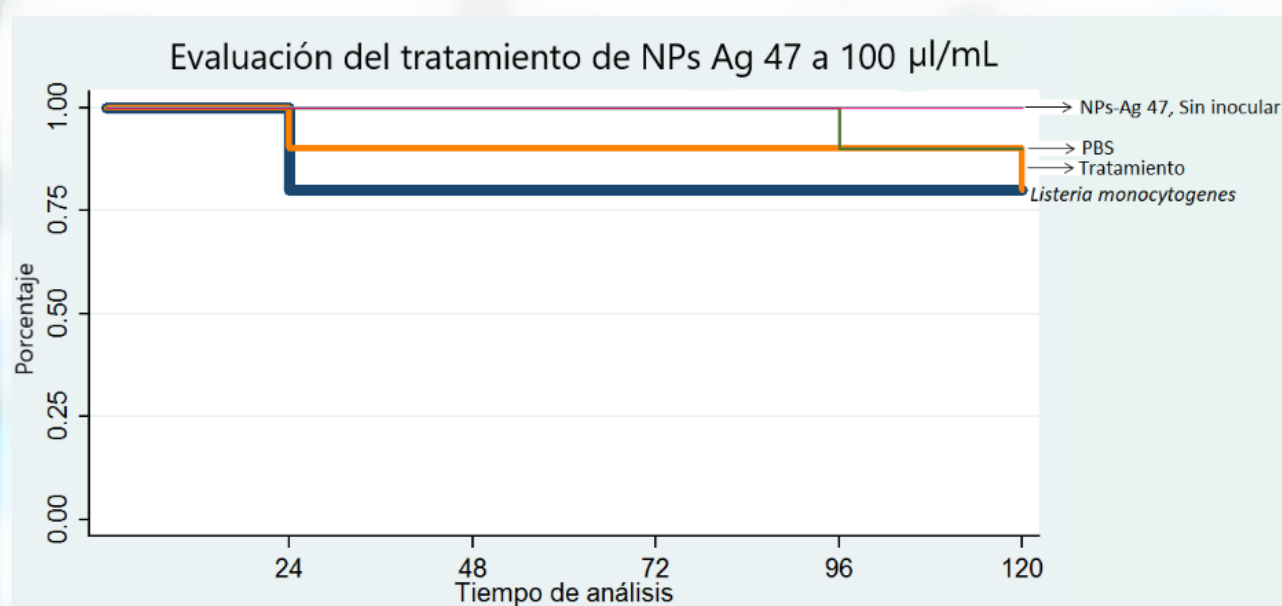


FASE 3: RESULTADO

1



2



FASE 4: ESTUDIO HISTOLÓGICO DE INFECCIÓN DE *Listeria monocytogenes* EN *Galleria mellonella*

GRUPO	CANTIDAD Y CARACTERÍSTICAS
1	20 larvas con <i>Listeria monocytogenes</i> ATCC 7644 a 1.5×10^7 UFC/ml
2	20 larvas con <i>Listeria monocytogenes</i> ATCC 7644 a 1.5×10^7 UFC/ml y NPs Ag 47
CONTROL 1	20 larvas sin inocular
CONTROL 2	20 larvas inoculadas con PBS



- Incubación a 37 °C
- Seguimiento 5 días
- Se evaluaron los días 0, 2, 3 y 5.
- Se inocularon con FAATD

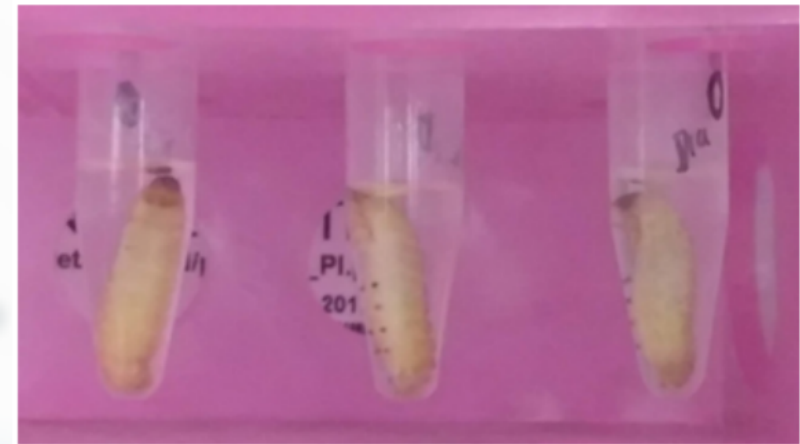


- Fueron llevadas al laboratorio de citohistología de la FUCS para realizar láminas de cortes histológicos.

GRUPO	CANTIDAD Y CARACTERÍSTICAS
1	20 larvas con <i>Listeria monocytogenes</i> ATCC 7644 a 1.5×10^7 UFC/ml
2	20 larvas con <i>Listeria monocytogenes</i> ATCC 7644 a 1.5×10^7 UFC/ml y NPs Ag 47
CONTROL 1	20 larvas sin inocular
CONTROL 2	20 larvas inoculadas con PBS



- Incubación a 37°C
- Seguimiento 5 días
- Se evaluaron los días 0, 2, 3 y 5.
- Se inocularon con FAATD



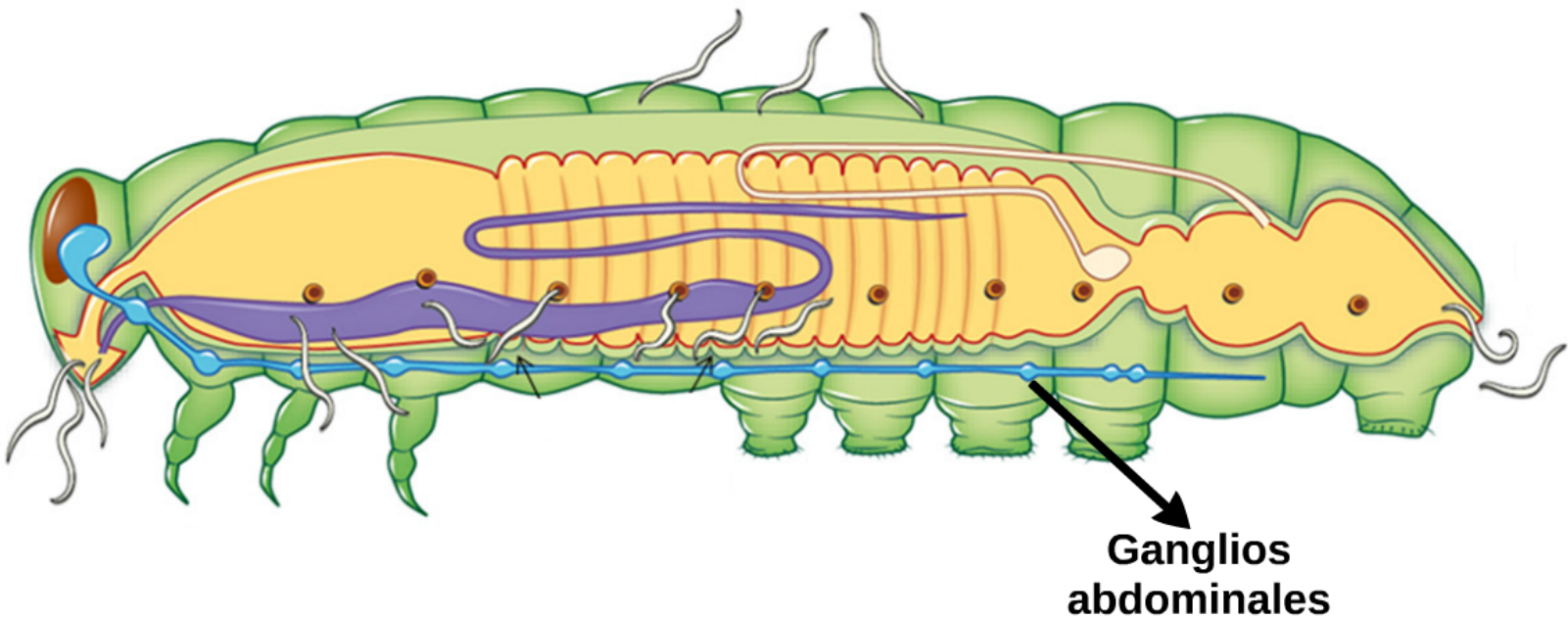
- Fueron llevadas al laboratorio de citohistología de la FUCS para realizar láminas de cortes histológicos.

DÍA 0				
	LARVAS INOCULADAS CON NPs Ag	LARVAS INOCULADAS CON NPs + <i>L. monocytogenes</i> ATCC	LARVAS INOCULADAS CON <i>L. monocytogenes</i> ATCC	LARVAS SIN INOCULAR
CABEZA				
INTESTINO MEDIO				
INTESTINO BAJO				
CUERPO GRASO				
ESPACIO INTERSTICIAL				

DÍA 3				
	LARVAS INOCULADAS CON NPs Ag	LARVAS INOCULADAS CON NPs + <i>L. monocytogenes</i> ATCC	LARVAS INOCULADAS CON <i>L. monocytogenes</i> ATCC	LARVAS SIN INOCULAR
CABEZA				
INTESTINO MEDIO				
INTESTINO BAJO				
CUERPO GRASO				
ESPACIO INTERSTICIAL				

DÍA 5				
	LARVAS INOCULADAS CON NPs Ag	LARVAS INOCULADAS CON NPs + <i>L. monocytogenes</i> ATCC	LARVAS INOCULADAS CON <i>L. monocytogenes</i> ATCC	LARVAS SIN INOCULAR
CABEZA				
INTESTINO MEDIO				
INTESTINO BAJO				
CUERPO GRASO				
ESPACIO INTERSTICIAL				

Morfología de *Galleria mellonella*

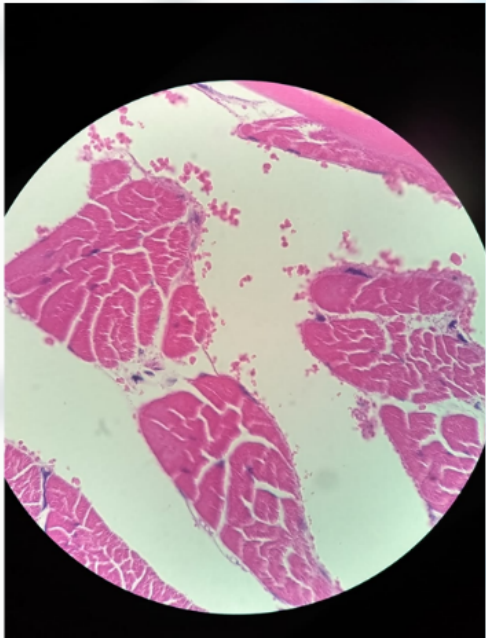


<https://www.mdpi.com/2072-6651/8/10/287>

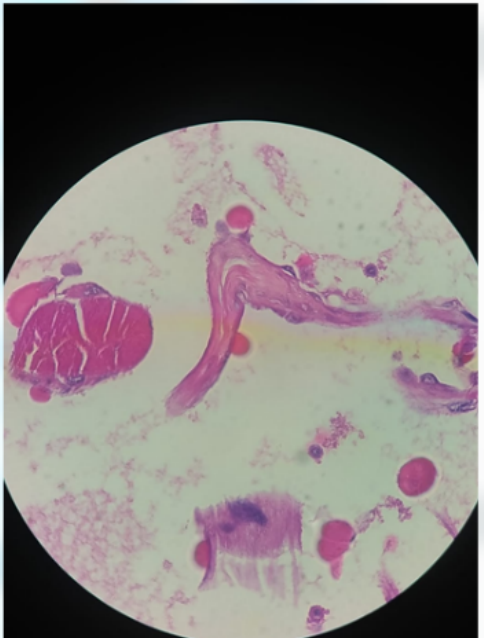
FASE 4: RESULTADO

DÍA 5

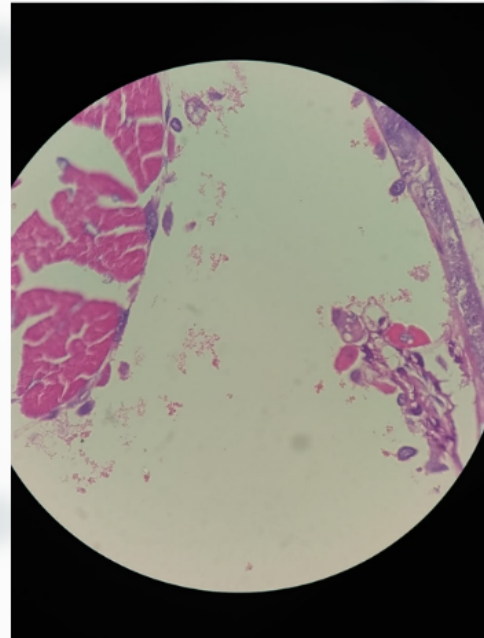
SIN INOCULAR



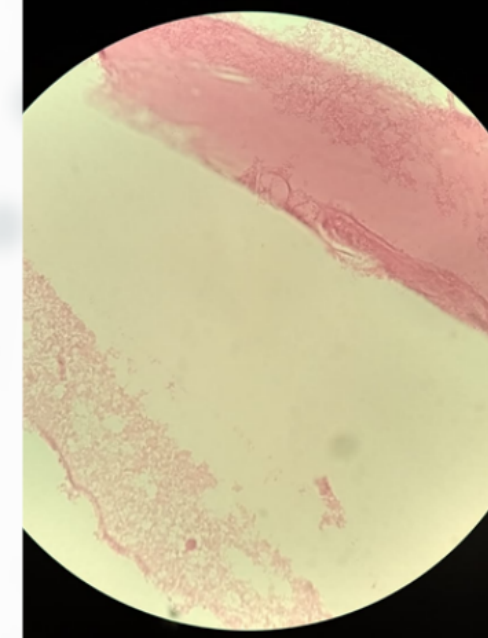
NPs-Ag 47



Listeria monocytogenes
+ NPs-Ag 47



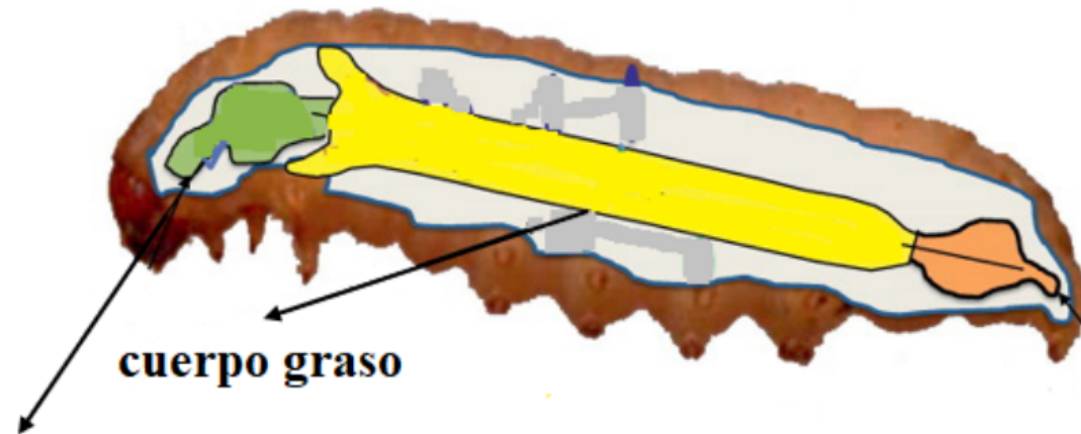
Listeria monocytogenes



Morfología de *Galleria mellonella*



FASE 5: EVALUACIÓN DE LA RESPUESTA INMUNE DE *Galleria mellonella* A LA INFECCIÓN POR *Listeria monocytogenes*



Cuerpo completo



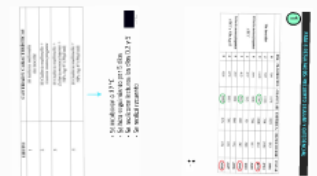
Se realizó recuento de UFC para conocer el funcionamiento del sistema inmune de la larva en un proceso infeccioso.

FASE 5 RESULTADOS RECUENTO DE UFC/Ml EN GALLERIA MELLONELLA CON LISTERIA MONOCYTODES

Se incubaron 40 larvas con Listeria monocytogenes ATCC 7644 en concentración de 1.5x10⁶ CFU/ml.

Ser incubaron a 37°C durante 5 días y se sacaron 4 larvas por día, dos para cuello gástrico y dos para cuerpo completo.

RNA	CUELLO GÁSTRICO	CUERPO COMPLETO
1	51.000	30.000
2	5.000	5.000



FASE 5 RESULTADOS: RECUENTO DE UFC/ML EN *Galleria mellonella* INOCULADA CON *Listeria monocytogenes*

Se inocularon 40 larvas con *Listeria monocytogenes* ATCC 7644 en concentracion de 1.5×10^7



Se incubaron a 37°C durante 5 dias y se sacaron 4 larvas por día, dos para cuerpo graso y dos para cuerpo completo

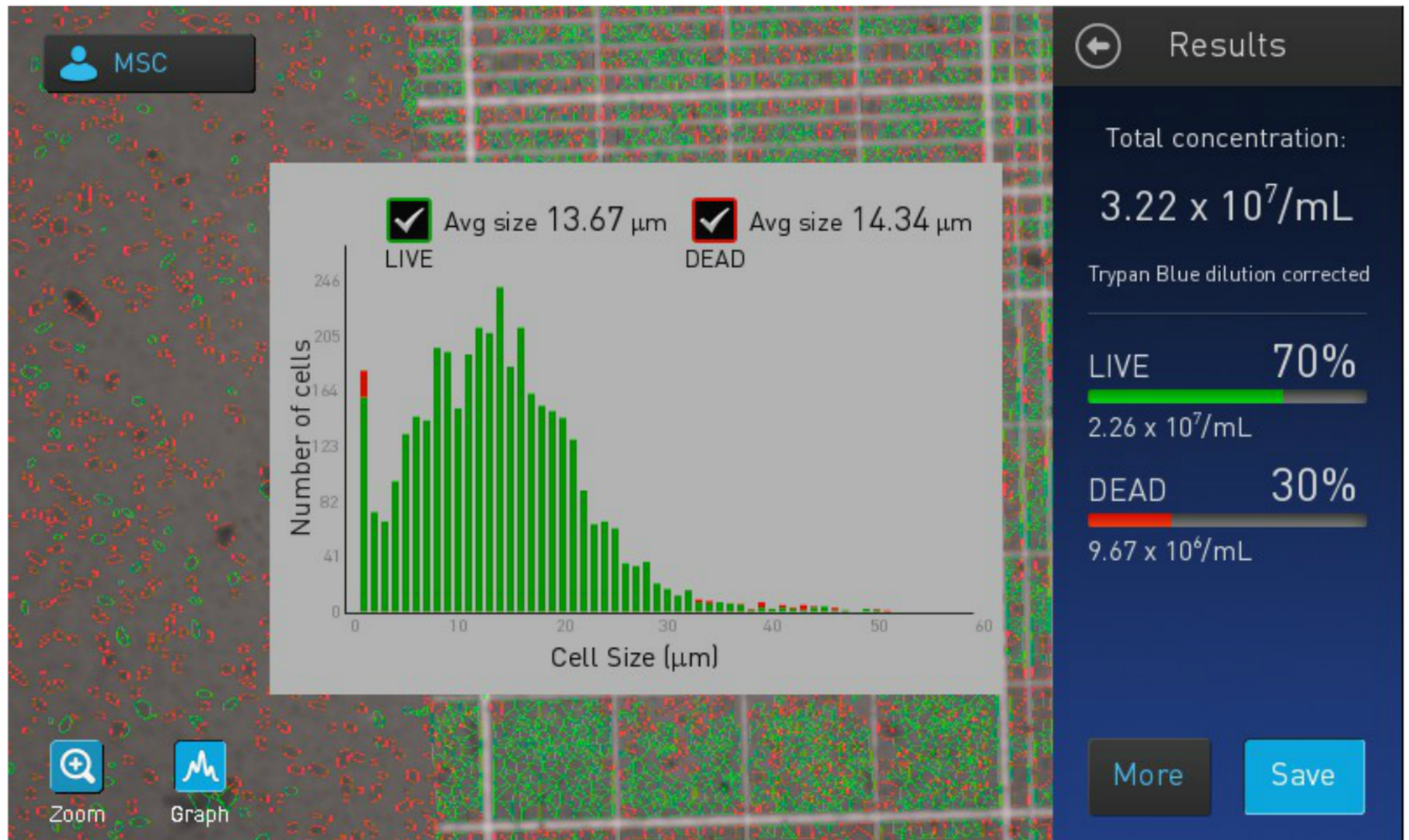
DÍA	CUERPO COMPLETO	CUERPO GRASO
	UFC/ml	UFC/ml
0	50.000.000	30.000.000
5	5.000	100

GRUPO	CANTIDAD Y CARACTERÍSTICAS
1	10 <i>Galleria mellonella</i> sin inocular
2	10 <i>Galleria mellonella</i> + <i>Listeria monocytogenes</i>
3	10 <i>Galleria mellonella</i> + <i>Listeria monocytogenes</i> + NPs Ag 47 (50µl/ml)
5	10 <i>Galleria mellonella</i> + NPs Ag 47 (50µl/ml)



- Se incubaron a 37 °C
- Se hizo seguimiento por 5 días
- Se realizaron lecturas los días 0,2 y 5
- Se realizó recuento



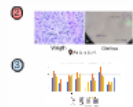


Countess II FL Cell counter

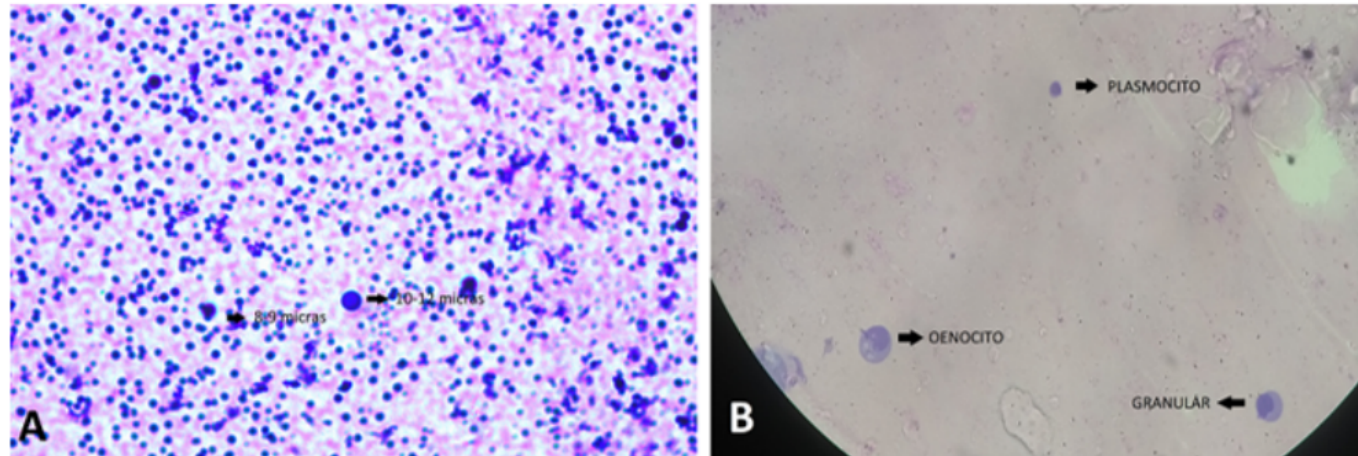
FASE 5 RESULTADOS: RECUENTO CELULAR Y DIFERENCIAL

1

	DÍA	PLASMOCITO	GRANULAR	ESFÉRICA	OENOCITOIDE	TOTAL
Sin inocular	0	796	1173	1028	883	3881
	2	759	1120	788	1045	3712
	5	1125	1397	1000	852	4374
<i>Listeria monocytogenes</i> ATCC	0	594	930	794	937	3255
	2	377	252	50	540	1219
	5	413	562	446	545	1966
<i>Listeria monocytogenes</i> ATCC y NPs Ag 47	0	557	998	868	972	3396
	2	675	1013	793	675	3157
	5	828	1080	876	876	3660



2



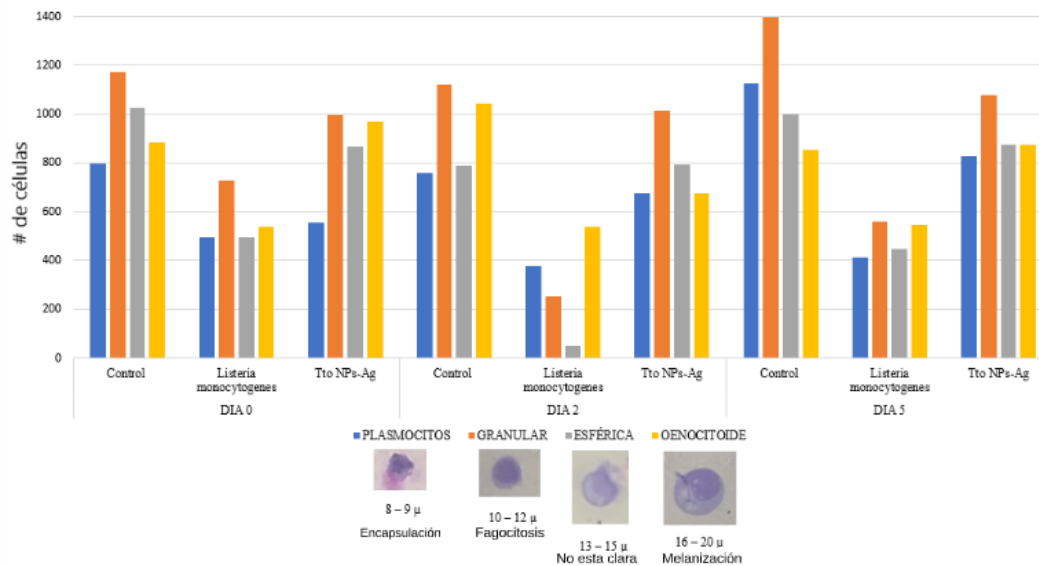
Wright

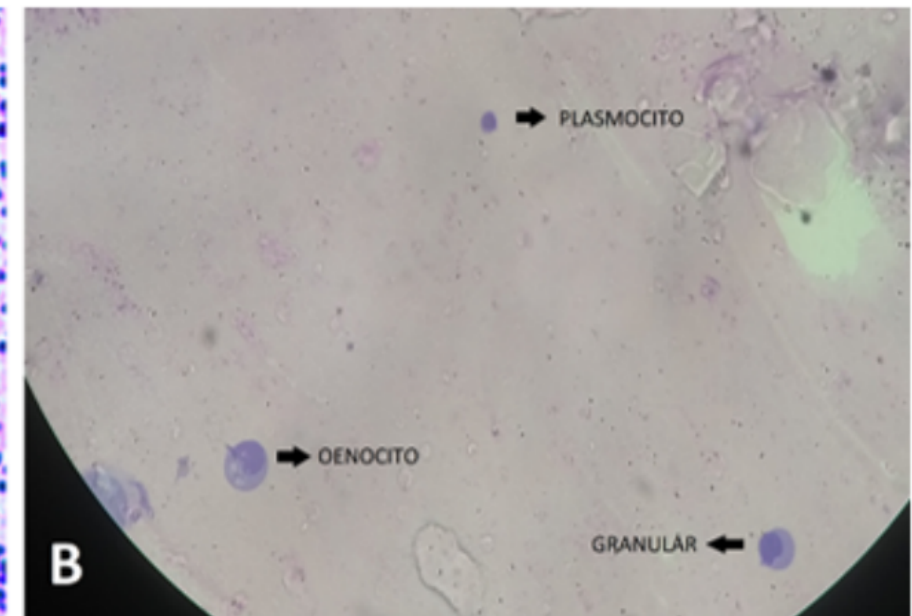
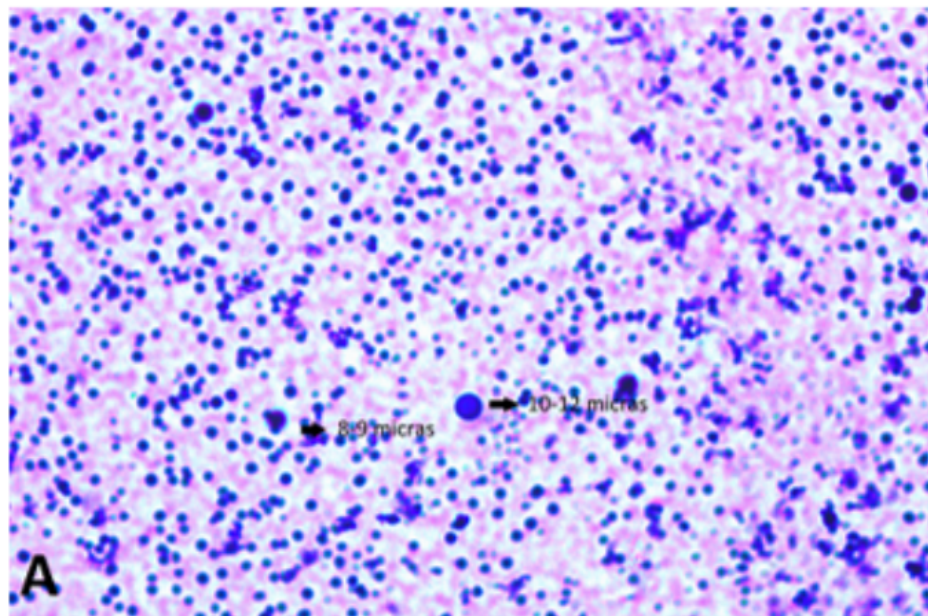
Wu G. y Liu Y.

Giemsa

3

Comparación de la respuesta celular inmune de *Galleria mellonella* a infección por *Listeria monocytogenes* y durante el tratamiento con NPs-Ag



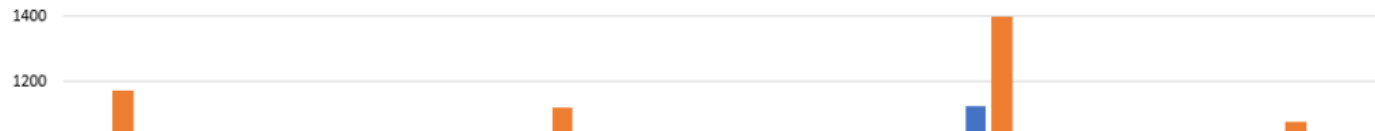


Wrigth

Wu G. y Liu Y.

Giems

Comparación de la respuesta celular inmune de *Galleria mellonella* a infección por *Listeria monocytogenes* y durante el tratamiento con NPs-Ag



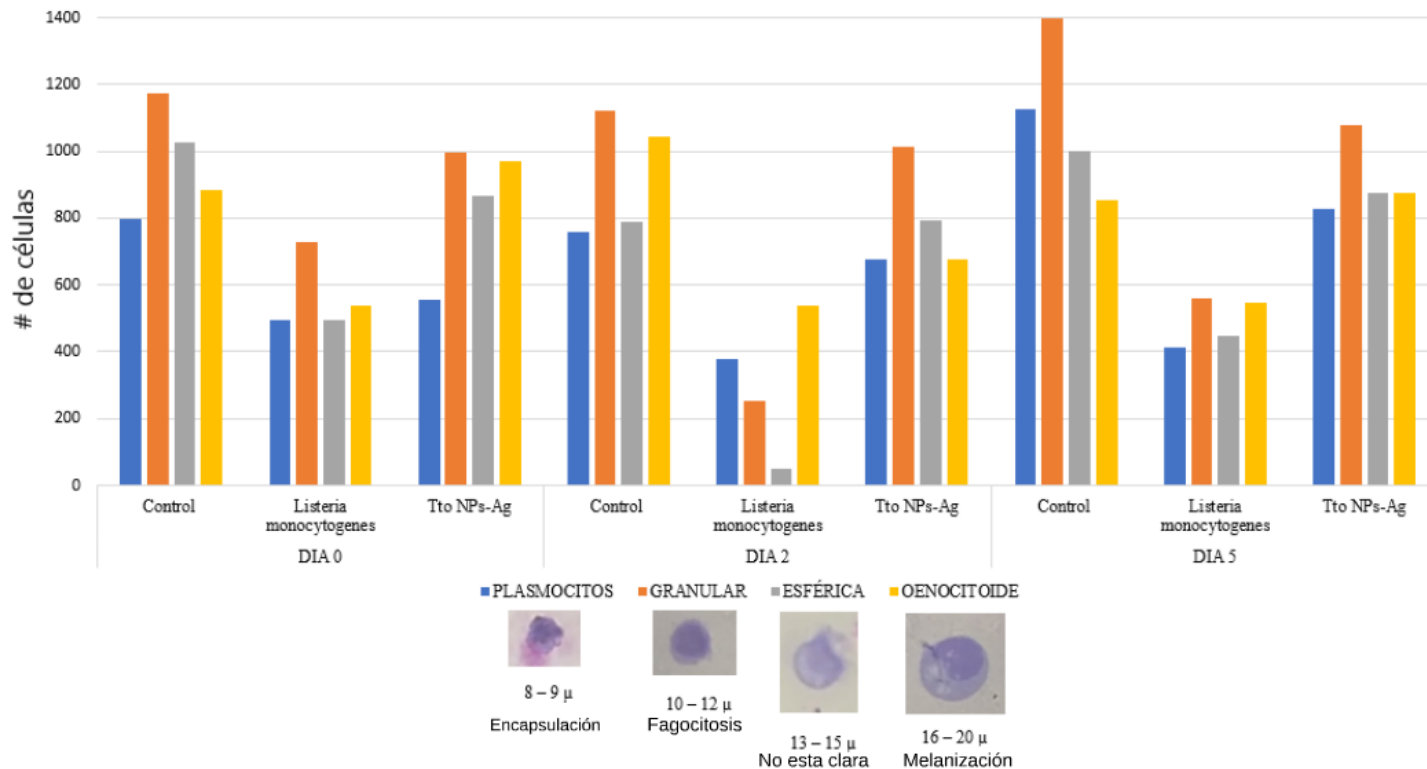
Wrigth

Giemsa



Wu G. y Liu Y.

Comparación de la respuesta celular inmune de *Galleria mellonella* a infección por *Listeria monocytogenes* y durante el tratamiento con NPs-Ag



CONCLUSIONES

- La DL 50 para la infección en *Galleria mellonella* fue de 1.5×10^7 UFC/mL para *Listeria monocytogenes* ATCC 7644.
- La nanopartícula 47 generó el 90% de sobrevivencia sobre *Galleria mellonella*.
- El sistema immune celular de *Galleria mellonella* se disminuye cuando hay una infección por *Listeria monocytogenes*, pero mejora al utilizar tratamiento con nanopartículas de plata y las células que estan involucradas son las células Granulares.
- Las nanopartículas de plata inhíben el proceso infeccioso de *Listeria monocytogenes* y potencian la respuesta inmune celular en la evaluación *in vivo* con las larvas de *Galleria mellonella*.

AGRADECIMIENTOS

- Doctora Marcela Gómez por la dirección del trabajo y la profesora Jovanna Acero por la asesoría.
- Universidad Colegio Mayor de Cundinamarca por toda nuestra formación.
- Fundación Universitaria de las Ciencias de la Salud por el financiamiento y locación.
- Finalmente a nuestras familias.

BIBLIOGRAFÍA

1. Belluco S, Losasso C, Patuzzi I, Rigo L, Conficoni D, Gallocchio F, et al. La plata como antibacteriano hacia *Listeria monocytogenes*. . Frontiers in microbiology. 2016;7:307.
2. Hof H. History and epidemiology of listeriosis. FEMS Immunol Med Microbiol. 35. England2003. p. 199-202.
3. Cossart P. Listeriology (1926-2007): the rise of a model pathogen. Microbes Infect. 9. France2007. p. 1143-6.
4. Torres K, Sierra S, Poutou R, Carrascal A, Mercado M. Patogenesis de *Listeria monocytogenes*, microorganismo zoonotico emergente. 2005.
5. Camacho A, Castaño M, Cortes M, Correa D, Olivares M, Pérez T, et al. Evaluación de riesgos *Listeria monocytogenes* en queso fresco en Colombia.2011. Available from: https://www.researchgate.net/publication/266069853_EVALUACION_DE_RIESGOS_DE_Listeria_monocytogenes_EN_QUEZO_FRESCO_EN_COLOMBIA
6. Alvarez DE, Agaisse H. The Metalloprotease Mpl Supports *Listeria monocytogenes* Dissemination through Resolution of Membrane Protrusions into Vacuoles. Infection and Immunity. 2016;84(6):1806.
7. Faralla C, Rizzato GA, Lowe DE, Kim B, Cooke C, Shiow LR, et al. InIP, a New Virulence Factor with Strong Placental Tropism. Infect Immun. 2016;84(12):3584-96.
8. Rodríguez L. Ciclo biológico de *Galleria mellonella* Linnaeus (Lepidoptera: Pyralidae). 2015.
9. NCBI. Taxonomy *Galleria mellonella* [Available from: <https://www.ncbi.nlm.nih.gov/Taxonomy/Browser/wwwtax.cgi>]
10. Ramarao N, Nielsen-Leroux C, Lereclus D. The insect *Galleria mellonella* as a powerful infection model to investigate bacterial pathogenesis. J Vis Exp. 2012(70):e4392.

MUCHAS
GRACIAS

